

การออกแบบ N-channel DTMOS สำหรับวงจรกำเนิดสัญญาณชั้นดิจิตะวนที่กินกำลังงานต่ำ N-channel Dynamic Threshold MOSFET Design for Low Power Ring Oscillators

ราดา คำแดง¹ ศุภวัฒน์ ลาวัณย์วิสุทธิ์² และพัฒนา อินทนิล³

Tada Comedang¹, Supawat Lawanwisut¹, and Pattana Intani³

¹สาขาวิชาอุตสาหกรรมศึกษา คณะคณฑ์โนโลยีอุตสาหกรรม มหาวิทยาลัยราชภัฏเทพสตรี

E-Mail: tada-comedang@hotmail.com

²สาขาวิชาศึกษาและสารสนเทศและการสื่อสาร คณะคณฑ์โนโลยีอุตสาหกรรม มหาวิทยาลัยราชภัฏเทพสตรี

³สาขาวิศวกรรมไฟฟ้า คณะวิศวกรรมศาสตร์ สถาบันเทคโนโลยีปทุมธานี

บทคัดย่อ

บทความนี้นำเสนอการออกแบบมอสเฟสที่ควบคุมค่าแรงดันขีดเริ่มแบบด้านมิก ชนิด N-ชานแนล (N-channel DTMOS) สำหรับวงจรกำเนิดสัญญาณชั้นดิจิตะวนที่กินกำลังงานต่ำ วงจรที่นำเสนอจะประกอบไปด้วย ส่วนของวงจรขยาย 5 วงจร ต่อร่วมกันเป็นวงวน โดยในแต่ละวงจรขยายจะใช้ N-channel DTMOS เป็นตัวขับกระแส และตัวเก็บประจุ จากผลการจำลองการทำงาน ด้วยโปรแกรม PSpice โดยใช้เทคโนโลยีขนาด 0.18 ไมครอน ของบริษัท TSMC พบร่วงจรสามารถกำเนิดความถี่ได้ถึง 50 MHz อัตราการกินกำลังงานเฉลี่ย 0.66 มิลลิวัตต์ ที่แหล่งจ่ายแรงดัน 1.1 โวลต์

คำสำคัญ: วงจรกำเนิดสัญญาณชั้นดิจิตะวน มอสเฟสที่ควบคุมค่าแรงดันขีดเริ่มแบบด้านมิก

Abstract

In this paper, n-channel dynamic threshold MOSFET (DTMOS) applications in the low power ring oscillator. The propose circuit consists of three stage amplifiers combined into ring. Each stage using n-channel DTMOS drive current source and capacitors. The results of the simulation program PSpice with TSMC 0.18 micron technology. The circuit cans generate frequencies up to 50MHz, average power consumption 0.66mW at supply voltage of 1.1 V.

Keywords: Ring Oscillator, DTMOS.

1. บทนำ

วงจร oscillators เป็นวงจรที่มีความสำคัญในอุตสาหกรรม อิเล็กทรอนิกส์โดยทั่วไปจะพบว่างจร oscillators แบบวงวนจะใช้เป็นวงจรกำเนิดสัญญาณเวลาให้กับวงจร อิเล็กทรอนิกส์ ปัจจุบันจึงได้มีผู้สนใจในการพัฒนาวงจร oscillators เตอร์แบบวงวนไปใช้ในอุตสาหกรรม อิเล็กทรอนิกส์ รวมไปจนถึงเป็นส่วนประกอบของวงจรต่างๆ เพื่อพัฒนาประสิทธิภาพของวงจรเป็นจำนวนมาก เช่น วงจรรวมความจุสูงมาก (VLSI), วงจรแปลงสัญญาณดิจิตอลเป็นอะนalog (ADC), เฟล็อกลูป (PLL), กำเนิดสัญญาณควบคุมแรงดัน (VCO) และระบบการแปลงพลังงาน (Converter) เป็นต้น [1, 2]

จากที่กล่าวมาข้างต้นในอุตสาหกรรม อิเล็กทรอนิกส์จะนิยมใช้ผลึกคาวอทซ์ สร้างความถี่สำหรับวงจรกำเนิดสัญญาณ เพราะมีความแม่นยำสูง อีกทั้ง เสียงรบกวนของสัญญาณที่อยู่ในสถานะแม่เหล็ก (Chemical shift, δ) มีค่าแปรเปลี่ยนเพียง ±0.1 เบอร์เซ็นต์ความถี่ 10 เมกะเฮิรตซ์ เพราะเมื่อเปรียบเทียบกับวงจรกำเนิดสัญญาณที่อยู่ในรูปของวงจรรวม (IC) จะมีค่าแปรเปลี่ยนสูงถึง ±5% เมื่อเปรียบเทียบกับความถี่เดียวกัน แต่การออกแบบวงจรด้วยผลึกคาวอทซ์มีข้อด้อย คือ ทำให้ห่วงจรมีขนาดใหญ่ และไม่สามารถนำเข้าไปใส่ในวงจรรวมความจุสูงมาก (VLSI) ได้ ดังนั้น กำลังเป็นที่นิยมในการออกแบบวงจรในภาคอุตสาหกรรมขึ้นส่วนอิเล็กทรอนิกส์ จึงมีการออกแบบวงจรกำเนิดสัญญาณแบบใหม่โดยใช้ CMOS (Complementary Metal-Oxide-Semiconductor) ซึ่งจะมีข้อดีตรงที่ทำให้วงจรมีขนาดเล็ก ทำให้สามารถนำไป

ใส่รวมในวงจรรวมความซับซ้อนมาก (VLSI) ได้ [3, 4] การทำงานของวงจรที่สร้างจาก CMOS โดยส่วนใหญ่จะต้องใช้แรงดันไฟเลี้ยงอยู่ที่ประมาณ 0.7 โวลต์ แต่แนวโน้มอุตสาหกรรมอิเล็กทรอนิกส์ทางการแพทย์ อุปกรณ์อิเล็กทรอนิกส์แบบพกพาที่มีแบตเตอรี่เป็นแหล่งจ่าย คาดว่าจะมีความต้องการแรงดันไฟเลี้ยงที่ต่ำกว่า 0.7 โวลต์ [5]

จึงทำให้มีผู้นำเสนองานเทคนิคการทำงานของ CMOS อกมาจำนวนมากเพื่อให้วงจรสามารถทำงานได้ที่แรงดันไฟเลี้ยงต่ำมาก (Ultra Low Voltage) เช่น WeakInversion, Level Shifter Techniques, Floating-Gate Approach, Bulk-Driven เป็นต้น ล้วนสิ่งนี้ให้เห็นแล้วว่าสามารถทำงานได้ที่แรงดันไฟเลี้ยงที่ต่ำกว่า 0.7 โวลต์ [6]

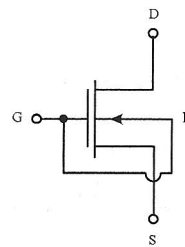
เพื่อเป็นทางเลือกสำหรับการออกแบบวงจรที่กินแรงดันไฟเลี้ยงต่ำ และอัตราสิ้นเปลืองกำลังไฟฟ้าต่ำ โดยใช้ mosfet ที่ควบคุมค่าแรงดันขีดเริ่มแบบเดนามิก ชนิด N-ชานเนล (N-channel DTMOS) ซึ่งทำให้วงจรที่สร้างจาก DTMOS ทำงานได้ที่ระดับแรงดันเพียง 1.1 โวลต์อีกทั้งทำให้ความถี่ที่วงจรสามารถทำงานได้เพิ่มขึ้นได้ถึงกว่า 10 เท่าเมื่อเทียบกับ mosfet แบบเดนามิก [7] จึงมีความเป็นไปได้ที่จะนำเทคโนโลยีไปใช้ทดแทน mosfet แบบเก่าที่ใช้งานกันอยู่ในปัจจุบัน ด้านนักพัฒนานี้จะนำเสนอของรอสซิลเลเตอร์แบบวงแหวนโดยใช้ N-channel DTMOS เพื่อให้วงจรที่นำเสนอสามารถทำงานโดยอัตราสิ้นเปลืองกำลังไฟฟ้าต่ำ

2. ทฤษฎีและหลักการทำงานของ DTMOS

2.1 mosfet ที่ควบคุมค่าแรงดันขีดเริ่มแบบเดนามิก DTMOS)

ในงานวิจัยจะใช้ DTMOS มาใช้เป็นอุปกรณ์หลักในการออกแบบวงจรรอสซิลเลเตอร์แบบวงแหวนดังนี้ในหัวขอจะกล่าวถึงทฤษฎีและหลักการทำงานของ DTMOS พอดังที่ 1 แสดงถึงโครงสร้างของ DTMOS โดยหลักการทำงานของ DTMOS จะทำการต่อขาเกทเข้ากับขาออดี จึงทำให้แรงดันขีดเริ่มของตัว mosfet มีค่าลดลงแสดงได้ดังนี้ [8-9]

$$V_{TH} = V_{TO} + \gamma(\sqrt{2\Phi_F} + V_{SB}) - \sqrt{2\Phi_F}. \quad (1)$$



รูปที่ 1 โครงสร้าง N-channel DTMOS

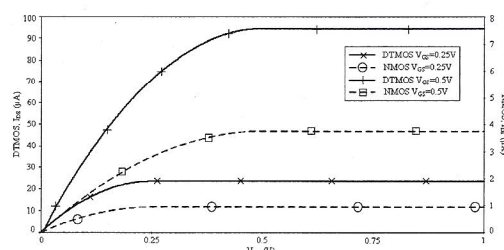
γ = สัมประสิทธิ์อัดใบแอส (Body effect factor)

ϕ_F = ค่าเฟิร์ฟของศักย์ไฟฟ้า (Fermi potential)

V_{TO} = ค่าศักดิ์ความร้อน (Thermal voltage)

V_{SB} = แรงดันແກນບາບ (Flat band voltage)

รูปที่ 2 แสดงถึงความสัมพันธ์ของกระแสเดрен (Drain) ของ DTMOS เปรียบกับ N-ชานเนล mosfet แบบเดนามิก DTMOS ทำงานได้ที่ระดับแรงดันเพียง 1.1 โวลต์อีกทั้งทำให้ความถี่ที่วงจรสามารถทำงานได้เพิ่มขึ้นได้ถึงกว่า 10 เท่าเมื่อเทียบกับ 0.27 ไมครอน / 0.18 ไมครอน ที่แรงดันขีดเริ่ม (V_{TH}) เท่ากับ 0.5 โวลต์ จะแสดงให้เห็นว่าจะมีการไหลของกระแสเดрен (I_{DS}) ที่สูงกว่าเมื่อแรงดัน V_{GS} มีค่าเท่ากัน [10]



รูปที่ 2 กระแสเดренของ DTMOS เปรียบเทียบกับ NMOS

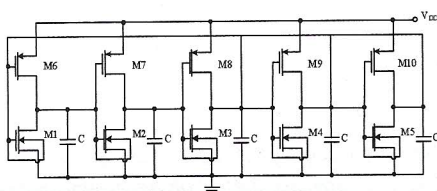
3. หลักการออกแบบวงจรรอสซิลเลเตอร์แบบวงแหวน

วงจรรอสซิลเลเตอร์แบบวงแหวนในงานวิจัยนี้จะถูกออกแบบโดยใช้โครงสร้างมาตรฐานของ Complementary Metal Oxide Semiconductor (CMOS) พบว่า P-ชานเนล mosfet ตามโครงสร้างโดยทั่วไปจะสามารถเชื่อมต่อเป็นทรานซิสเตอร์ DTMOS

ได้เช่นเดียวกับ N-ชานเนล มอสเฟส แต่เมื่อมาศึกษากระบวนการในการผลิตตัวจรรูปเพื่อที่จะนำไปใช้งานจริงพบว่าในขั้นตอนที่แล้วไปในกระบวนการต่อว่ามีชั้นผิว n-well มอสเฟสชนิด P-ชานเนลจะไม่สามารถเชื่อมต่อได้โดยใช้วิธีการผลิตแบบปกติ กระบวนการที่จะทำให้มอสเฟสชนิด P-ชานเนล เชื่อมต่อเป็น DTMOS ได้นั้นจำเป็นจะต้องใช้กระบวนการ triple-well ซึ่งมีราคาต้นทุนในการผลิตที่สูงเมื่อเทียบกับมอสเฟสชนิด N-ชานเนล ไม่จำเป็นที่จะต้องใช้กระบวนการ triple-well ในการผลิตโดยจะสามารถต่อร่วมชั้นผิว n-well กับชั้นผิวของตัวเองได้เลย [11]

จากข้อจำกัดนี้องบทความนี้จะยังคงใช้มอสเฟสชนิด P-ชานเนลแบบปกติ วงจร抵抗ซิลิเกเตอร์แบบวงแหวนในงานวิจัยนี้ จะถูกออกแบบโดยใช้หลักการของวงจรอินเวอร์เตอร์ที่เชื่อมต่อ กันเป็นวงแหวน การออกแบบวงจรอินเวอร์เตอร์จะใช้ CMOS ประกอบไปด้วย N-DTMOS และ PMOS อย่างละหนึ่งตัว [12] และดีไซน์ได้ในรูปที่ 3 และจำนวนขั้นตอนของวงจรอินเวอร์เตอร์ต้องเป็นจำนวนเลขคี่ เพื่อให้สามารถวิเคราะห์เงื่อนไขการกำหนดสัญญาณได้ โดยใช้ค่าหน่วยเวลาของวงจรอินเวอร์เตอร์ (T) แต่ละวงจรมาทำให้เกิดความถี่ [13] แสดงได้ในสมการที่ 2

$$F_{CLK} = \frac{1}{nT} \quad (2)$$



รูปที่ 3 วงจร抵抗ซิลิเกเตอร์แบบวงแหวน

เมื่อพิจารณาอัตราการกินกำลังงานของวงจร抵抗ซิลิเกเตอร์จะเกิดขึ้นเมื่อแรงดันอินพุทของอินเวอร์เตอร์มีค่าเข้าใกล้ $V_{DD}/2$ และการสูญเสียเชิงความถี่ (Capacitive losses) ที่เกิดจากการเปลี่ยนแปลงความดันของอินเวอร์เตอร์ [14] แสดงได้ในสมการที่ 3

$$P = n \frac{CV_{DD}^2}{T_{CLK}} \quad (3)$$

การกินกำลังงานของวงจร抵抗ซิลิเกเตอร์แบบวงแหวนจากสมการที่ 3 โดยละเอียดของ Cross conduction losses สามารถจัดรูปสมการใหม่ได้ดังนี้

$$P = \frac{W}{L} \cdot \frac{V_{DD}^2(V_{DD} - V_{TM})^2}{2(V_{DD} - 2V_{TM})(\frac{1}{kK_{PP}} + \frac{1}{K_{PN}})}, \quad (4)$$

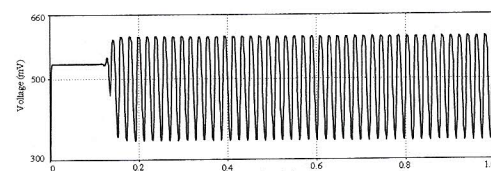
จากสมการที่ 2 - 3 จะพบว่าแรงดันไฟเลี้ยง (V_{DD}), T_{CLK} ($T_{CLK} = 1 / F_{CLK}$) เมื่อ k คือค่าคงที่ของอัตราส่วนการปรับความกว้าง (W) ของ VT莫斯 ($W_P=kW_N$, $L_P=L_N$), และ $K_{PP,PN}$ คือค่าความนำไฟฟ้า (Conductance Parameter, $\mu A/V^2$) เมื่อพิจารณาจากสมการที่ 4 การกินกำลังงานจะไม่ขึ้นอยู่กับค่าของจำนวนของวงจรอินเวอร์เตอร์ที่นำมาต่อ กันเป็นวงแหวน (k)

$$T = \frac{2C_{ox}L^2(k+1)(V_{DD} - 2V_T)}{(V_{DD} - V_{TM})^2} \left(\frac{1}{kK_{PP}} + \frac{1}{K_{PN}} \right) \quad (5)$$

ดังนั้นในการออกแบบวงแหวน抵抗ซิลิเกเตอร์แบบวงแหวนให้มีอัตราสิ้นเปลืองกำลังไฟฟ้าต่ำ จะสามารถทำได้โดยการออกแบบให้ค่าของ W มีค่าต่ำที่สุด และยังสามารถกำหนดความถี่ที่ต้องการนำไปใช้งานได้โดยการปรับขนาดของ L [15-16]

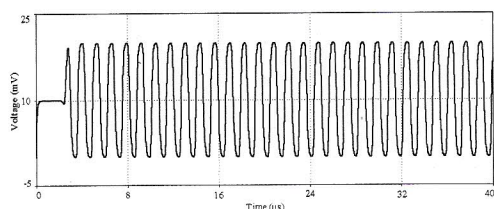
4. ผลจำลองการทำงาน

การออกแบบวงแหวน抵抗ซิลิเกเตอร์แบบวงแหวนในงานวิจัยนี้ใช้เทคโนโลยีทรานซิสเตอร์ CMOS ขนาด 0.18 ไมครอน ของบริษัท TSMC ในการจำลองการทำงานด้วยโปรแกรม PSpice โดยค่าของ W จะถูกกำหนดไว้ด้วยอัตราส่วนขนาดต่ำสุดที่ 0.27 ไมครอน และขนาดของ L จะกำหนดให้มีค่าเท่ากับ 0.18 ไมครอน โดยที่ $V_{DD}=1.1V$ และ $C=1pF$ จากผลการจำลองการทำงานวงจรสามารถกำหนดความถี่ได้ 51.40MHz และมีอัตราสิ้นเปลืองกำลังไฟฟ้าเที่ยง 0.66mW แสดงได้ในรูปที่ 4



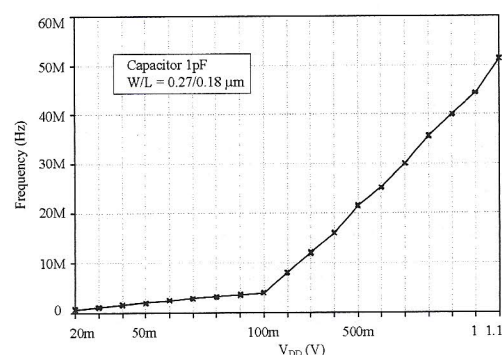
รูปที่ 4 สัญญาณเอาต์พุต ที่ $V_{DD}=1.1V$

ต่อมานี้ทำการพิจารณาอัตราการกินกำลังงานที่ต่ำสุดที่วงจรสามารถทำงานได้โดยค่าของ W จะถูกกำหนดให้ด้วยอัตราส่วนขนาดต่ำสุดที่ 0.27 ไมครอน และขนาดของ L จะกำหนดให้มีค่าเท่ากับ 0.18 ไมครอน โดยที่ $V_{DD}=20$ mV และ $C=1$ pF จากผลการจำลองการทำงานจะสามารถกำหนดความถี่ได้ 775 kHz และมีอัตราสิ้นเปลืองกำลังไฟฟ้าต่ำสุดเพียง 3.7 nW และแสดงได้ในรูปที่ 5



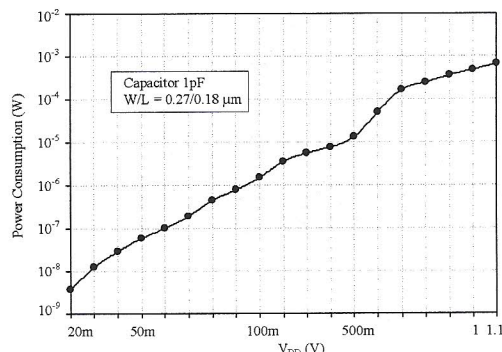
รูปที่ 5 สัญญาณเอาต์พุต ที่ $V_{DD}=20$ mV

จากผลของการจำลองการทำงานในรูปที่ 4 และ 5 สามารถสรุปความสัมพันธ์ของความถี่ในการกำหนดสัญญาณเปรียบเทียบกับการปรับค่าแรงดัน V_{DD} ได้ในรูปที่ 6 และความสัมพันธ์ของอัตราการกินกำลังงานเปรียบเทียบกับการปรับค่าแรงดัน V_{DD} ได้ในรูปที่ 7



รูปที่ 6 ความถี่ในการกำหนดสัญญาณเมื่อเปลี่ยนค่าแรงดัน V_{DD}

ตารางที่ 1 ทำการเปรียบเทียบอัตราการกินกำลังงาน และความถี่ที่วงจรสามารถให้กำหนดสัญญาณได้กับวงจรที่มีผู้นำเสนอไปก่อนหน้านี้ วงจรที่นำเสนอไปก่อนหน้านั้นส่วนใหญ่จะให้กำหนดสัญญาณสูงสุดระดับ GHz



รูปที่ 7 อัตราการกินกำลังงานเมื่อแรงดัน V_{DD}

อัตราการกินกำลังงานอยู่ในช่วง mW จากผลที่สรุปไว้ในตารางนี้ จะเห็นได้อย่างชัดเจนว่างจรที่นำเสนอในบทความนี้ จะมีอัตราการกินกำลังอยู่ในระดับ nW ที่ความถี่สูงสุดที่วงจรสามารถทำงานในระดับ MHz เช่นกัน

ตารางที่ 1 แสดงผลการเปรียบเทียบประสิทธิภาพของวงจร

Reference	OPERATING FREQUENCY (Hz)	POWER CONSUMPTION (W)	V_{DD} (V)
[17]	1.6-3.2G	1m	1.8
[18]	8.4-10.1G	50m	1.8
[19]	5.16-5.93G	27m	1.8
[20]	2.17-2.73G	2.7m	0.9
[21]	0.39-1.41G	12.5m	1.8
[22]	0.12-1.3G	850μ	0.5
This Work	0.8M-0.05G	3.7n	0.02

5. สรุปผลการทดลอง

บทความวิจัยนี้นำเสนอการออกแบบวงจรอัตโนมัติแบบวงแหวนโดยใช้ DTMOS เพราะจะทำให้วงจรที่ออกแบบมีขนาดเล็ก เมื่อเปรียบเทียบกับการออกแบบวงจรด้วยพลิกควอทซ์ อีกทั้งยัง DTMOS ที่นำมาออกแบบวงจรนั้นสามารถทำให้วงจรทำงานได้ที่ระดับแรงดันไปเลี้ยงที่ต่ำ 0.02 ถึง 1.1 โวลต์ และมีการสิ้นเปลืองกำลังไฟฟ้าต่ำที่สุดเท่ากับ 3.7 นาโนวัตต์ และการออกแบบใช้เทคโนโลยี CMOS ขนาด 0.18 ไมครอน การวิเคราะห์และออกแบบวงจรออกแบบแบบ DT莫斯

แนวทางในบทความวิจัยนี้จะแสดงให้เห็นความสัมพันธ์ของอัตราการกินกำลังงานกับความถี่โดยการปรับค่าตัวแปรต่างๆเพื่อเป็นแนวทางในการออกแบบ หรือพัฒนาสำหรับผู้ที่สนใจ อีกทั้งได้ประยุกต์ใช้เทคนิคการทำงานของ DTMOS

6. เอกสารอ้างอิง

- [1] T. Arya, K.R. Debasish and K.M. Asish, "Design and Performance Analysis of Ring Oscillators," International Journal of Advanced Research in Computer Engineering & Technology (IJARCET), vol. 2, no. 7, July 2013.
- [2] A. Richelli, L. Colalongo, M. Quarantelli, M. Carmina, and Zs.M. Kovács-Vajna, "A Fully Integrated Inductor-Based 1.8–6-V Step-Up Converter," IEEE Journal of Solid-State Circuits, vol. 39, no. 1, pp. 242-245, January 2004.
- [3] Y.W. Bai and H.C. Chen, "An Adjustable Design For The Real Time Clock of High-End Server Systems," IEEE Conference on Electrical and Computer Engineering, pp. 183-188, May 2008.
- [4] N. Kiattimaneeratana and E. Leelarasamee, "A Triangular Ring Oscillator with frequency independent of threshold voltage," The 33rd Electrical Engineering Conference, pp. 1040-1044, December 2010.
- [5] H.F. Achigui, C.J.B. Fayomi and M. Sawan, "1-V DTMOS-Based Class-AB Operational Amplifier: Implementation and Experimental Results," IEEE Journal of Solid-State Circuits, vol.41, no.11, pp.2440-2448, November 2006.
- [6] F. Teb, S. Dabbous and S.A. Vlassis, "A Survey of Non-conventional Techniques for Low-voltage Low-power Analog Circuit Design," Radioengineering [serial online]. June 2013; 22(2): 415-427. Available from: Computers & Applied Sciences Complete, Ipswich, MA. Accessed January 17, 2014.
- [7] F. Assaderaghi, D. Sinitsky, S.A. Parke, J. Bokor, P.K. Ko and Hu. Chenming, "Dynamic threshold-voltage MOSFET (DTMOS) for ultra-low voltage VLSI," IEEE Transactions on Electron Devices, vol.44, no.3, pp.414-422, 1997.
- [8] S.A. Prke, L. Bokor, P.K. Ko and C. Hu, "Bipolar-FET hybrid-mode operation of quarter-micrometer SOI MOSFET's," IEEE Electronic Device Letters, vol. 14, pp. 236-238, 19
- [9] S. Verdonckt-Vanderbroek, S. Wong, J. Woo and P. Ko, "High gain lateral bipolar action in a MOSFET structure," IEEE Trans. on Electron Devices, vol. 38, no. 11, pp. 2487-2496, 1991.
- [10] MOSIS Integrated Circuit Fabrication Service [homepage on the Internet]. California: USC Information Sciences Institute, CA 90292-6695 [cited 2014 Jan 28]. Available from: <http://www.mosis.com/pages/Technical/Tes tdata/tsmc-018-prm>
- [11] A. Uygur and H. Kuntman, "DTMOS-Based 0.4V Ultra Low-Voltage Low-Power VDTA Design and Its Application to EEG Data Processing," Radioengineering, vol. 22, no. 2, pp. 458-466. 2013.
- [12] J. Segura and C.F. Hawkins, "CMOS electronics, how it works, how it fails," Book IEEE edition, ISBN 0-471-47669-2, 2004.
- [13] G. Jovanovic and M. Stojcev. A method for improvement stability of a CMOS voltage controlled ring oscillators. ICEST 2007, vol. 2, pp. 715-718, 2007.

- [14] J. Segura and C.F. Hawkins, "CMOS electronics, how it works, how it fails," Book IEEE edition, ISBN 0-471-47669-2, 2004.
- [15] T. Matsuda, et al. "A combined test structure with ring oscillator and inverter chain for evaluating optimum high-speed/low-power operation," In proceeding of International Conference on Microelectronic Test Structures, 2003.
- [16] V. Michal, "On the low-power design, stability improvement and frequency estimation of the CMOS ring oscillator," Radioelektronika, International Conference, vol. 1, no. 4, pp. 17-18, April 2012.
- [17] H. M. Liu, X. X. Zhang, Y. j. Dai, Y. j. Lu, and B. l. Wei, "A Wide Range Low Power CMOS Radio Frequency Ring Oscillator," 4th IEEE conference on Industrial Electronics and Applications, ICIEA ,pp. 1340 – 1344, 2009.
- [18] Q. Hai, Liu, L. G. Wang, and Liter Siek, "A 0.18- μ m 10-GHz CMOS Ring Oscillator for Optical Transceivers," IEEE International Symposium on Circuits and Systems, ISCAS, Vol. 2,pp1525 - 1528, 2005.
- [19] Y. A. Eken and J. P. Uyemura, "A 5.9-GHz voltage-controlled ring oscillator in 0.18- μ m CMOS," IEEE J. Solid-State Circuits, vol.39, No. 1, pp. 230-233, January 2004.
- [20] S. Y. Lee and J. Y. Hsieh, "Analysis and implementation of a 0.9V voltage-controlled oscillator with low phase noise and low power dissipation," IEEE Transaction on Circuits and Systems II, vol. 55, no.7, pp. 624-627, Jul. 2008.
- [21] L. S. Paula, S. Banpi, E. Fabris, and A. A. Susin, "A wide band CMOS differential voltage-controlled ring oscillators," International IEEE Northeast Workshop on Circuits and System Design, Jun. 2008, pp. 9-12.2008.
- [22] T. Li, B. Ye and J. Jiang, "0.5 V 1.3 GHz voltage controlled ring oscillator," IEEE International Conference ASIC, Oct. 2009, pp. 1181-1184.